



## تعیین توزیع شار نوترون در طول کanal خشک رآکتور MNSR و تعیین طیف انرژی نوترون در این رآکتور

احمد شیرانی<sup>\*</sup>، عاطفه سهرابی<sup>۱</sup>، ایرج شهابی<sup>۲</sup>

۱- دانشکده فیزیک، دانشگاه صنعتی اصفهان، صندوق پستی: ۸۳۱۱۱-۸۴۱۵۶-۸۴۱۵۶ اصفهان- ایران

۲- پژوهشکده تحقیقات و توسعه رآکتورها و شتابدهندها، پژوهشگاه علوم و فنون هسته‌ای، سازمان انرژی اتمی ایران، صندوق پستی: ۱۵۸۹-۱۵۴۶۵-۸۱۴۶۵ اصفهان- ایران

**چکیده:** در این کار، شار نسیی نوترون در امتداد کanal خشک رآکتور مینیاتوری (MNSR) مرکز اتمی اصفهان به روش فعال‌سازی نوترونی اندازه‌گیری شده است. علاوه بر این، با شیوه‌سازی این رآکتور با استفاده از کد محاسباتی MCNP تغییرات شار نوترون در امتداد کanal خشک آن محاسبه و با نتایج اندازه‌گیری‌ها مقایسه شده است. نتایج به دست آمده نشان می‌دهند که قله‌ی توزیع شار نوترون در کanal خشک در نقطه‌ای در زیر نزدیک ترین نقطه به مرکز قلب رآکتور قرار دارد. علت این امر را می‌توان با بازتابنده‌ی بریلیمی موجود در کف قلب رآکتور مرتبط دانست. در ادامه، طیف انرژی نوترون در کanal خشک و نیز در کanal‌های پرتودهی داخلی و خارجی این رآکتور محاسبه و درصد نوترون‌های گرمایی در این نواحی تعیین شده است. هم‌چنین طیف انرژی نوترون در یکی از کanal‌های پرتودهی داخلی با نتایج کارهای دیگران مقایسه شده است.

**واژه‌های کلیدی:** رآکتور MNSR کد MCNP طیف انرژی نوترون، فعال‌سازی نوترونی، شار نوترون

## Determination of Neutron Flux Distribution along the Dry-Channel of the MNSR Reactor and Determination of Neutron Energy Spectrum in this Reactor

A. Shirani<sup>\*1</sup>, A. Sohrabi<sup>1</sup>, I. Shahabi<sup>2</sup>

1- Department of Physics, Isfahan University of Technology, P.O. Box: 84156-83111, Isfahan-Iran

2- Reactors and Accelerators Research and Development School, Nuclear Science and Technology Research Institute, AEOI, P.O. Box: 81465-1589, Isfahan -Iran

**Abstract:** In this work, the relative neutron flux was determined experimentally using neutron activation analysis (NAA) method along the length of the dry channel (GUIDE TUBE) of the Isfahan miniature neutron source reactor (MNSR). This reactor was also simulated using the MCNP code, and the neutron flux distribution along the dry channel was calculated and the results were compared with the measured values. The results showed that the neutron flux distribution peak in the dry channel occurs at a point below the nearest point to the center of the reactor core. This is due to presence of the bottom beryllium reflector. In addition, the simulation program was used to determine the neutron energy spectrum in the dry channel and also in the inner and outer irradiation channels of the reactor. Furthermore, the neutron energy spectrum in an inner irradiation channel of the reactor was compared with the previous studies.

**Keywords:** MCNP Code, MNSR Reactor, Neutron Activation, Neutron Energy Spectrum, Neutron Flux

\*email: shirani@cc.iut.ac.ir

تاریخ دریافت مقاله: ۸۸/۱۱/۱۴ تاریخ پذیرش مقاله: ۸۹/۱۱/۲۶



## ۲- روش انجام کار

### ۱- اندازه‌گیری شار نسبی نوترون در امتداد کانال خشک

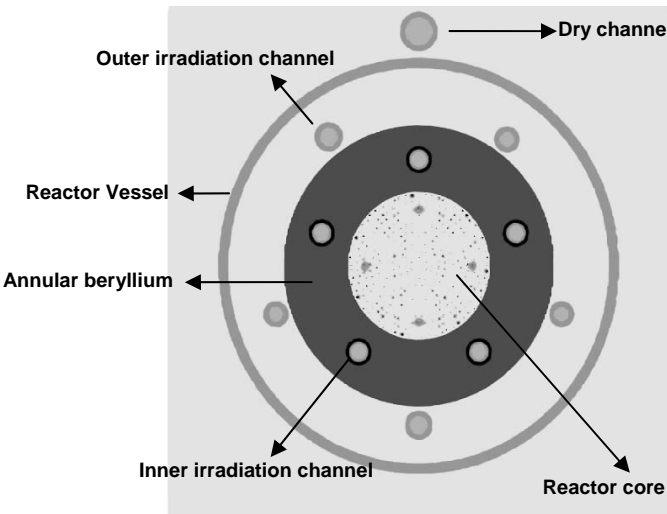
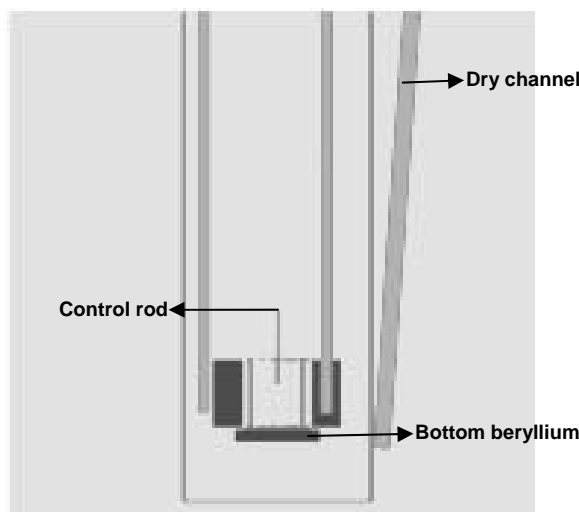
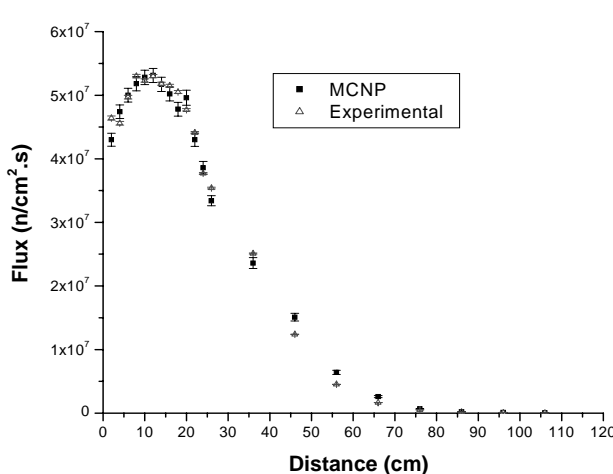
برای تعیین شار نوترون در یک رآکتور به روش فعال‌سازی معمولاً از بمباران نوترونی ورقه‌های نازک عناصر مناسب (پولک‌ها) استفاده می‌شود. در خاتمه‌ی پرتوودهی فعالیت پرتوزایی پولک‌ها تعیین و از روی آن شار نوترونی که در آن قرار گرفته‌اند به دست می‌آید [۳ و ۴]. در این کار پژوهشی از پولک‌های ایندیم با ترکیب ایزوتوپی طبیعی (با درجه‌ی خلوص بیش از ۹۹٪ درصد) و با غنای ۹۶٪ نسبت به فراوانی ایزوتوپ  $In^{115}$  استفاده شده است. پولک‌های ایندیم به صورت قرص‌های نازک (هر یک به جرم تقریبی ۱۳ میلی‌گرم و به قطر ۳ میلی‌متر) تهیه و پس از توزیع دقیق، به منظور فرستاده شدن در کانال خشک، روی یک میله‌ی آلومینیمی چسبانده شدند. در این راستا، از ۲۱ پولک استفاده شد که ۱۳ پولک اول در فاصله‌ی ۲ سانتی‌متر و ۸ پولک دیگر در فاصله‌ی ۱۰ سانتی‌متر از یک دیگر قرار گرفتند. برای تعیین طیف گامایی پولک‌های پرتوودیده، از آشکارساز سوسوزن یدور سدیم (NaI(Tl) مجهز به تحلیل گر چندکاناله (MCA) و کالیبره شده به کمک دو چشمی Cs<sup>137</sup> و Co<sup>60</sup> استفاده گردید. پولک‌ها پس از ۱۱ دقیقه پرتوودهی در شار نوترونی  $s^{-1} cm^{-2}$  در کانال خشک بیرون آورده شده و به داخل کپسول‌های از قبل آماده شده منتقل شدند. چون فعالیت پرتوزایی پولک‌هایی که دورتر از مرکز قلب را داشتند کم‌تر بود، تهیی طیف با شروع از پولک‌های بالای میله شروع و هر پولک به مدت ۵ دقیقه مورد شمارش قرار گرفت. از این‌رو، فاصله‌ی زمانی بین خاتمه‌ی پرتوودهی و شروع شمارش برای پولک‌ها متفاوت بود. تصحیحات مربوط به این امر انجام پذیرفت. طیف پولک‌ها، در شرایط هندسی یکسان (روی سر آشکارساز) و با استفاده از سطح زیر قله‌ی ۱۲۹۳,۵۴ keV ایزوتوپ  $In^{116}$  با نیم-عمر ۵۴/۱۵ دقیقه و حاصل از  $In^{115}$  از واکنش (n,γ) تهیه و شار نسبی نوترون از روی سطح زیر قله‌ی مذکور محاسبه گردید [۵].

### ۲- شبیه‌سازی رآکتور و محاسبه‌ی توزیع شار نوترون در امتداد کانال خشک

کد MCNP یکی از مهم‌ترین کدهای محاسباتی چندمنظوره براساس روش مونت‌کارلو است. از ویژگی‌های بارز این کد

## ۱- مقدمه

رآکتور مینیاتوری چشمی نوترون (MNSR)<sup>(۱)</sup> موجود در پژوهشکده‌ی تحقیقات و توسعه‌ی رآکتورها و شتاب‌دهنده‌ها، یک رآکتور کاربردی- تحقیقاتی با قدرت کم (۳,۰ kW) و اینمی‌ذاتی است که کاربرد اختصاصی آن در تجزیه و تحلیل مواد به روش فعال‌سازی نوترونی (NAA)<sup>(۲)</sup> می‌باشد. قلب این رآکتور از یک مجتمع سوخت شامل ۳۴۳ میله‌ی سوخت (هر یک به قطر ۵/۵ میلی‌متر و طول ۲۳۰ میلی‌متر) تشکیل شده و اطراف این مجموعه را بریلیم به عنوان بازتابانده فرا گرفته است. سوخت مورد استفاده در این رآکتور، U<sup>235</sup> با غنای ۹۰,۲٪ می‌باشد. در این رآکتور مینیاتوری از آب به عنوان کندکننده و خنک کننده با جریان طبیعی در قلب استفاده می‌شود. این رآکتور تنها دارای یک میله‌ی کنترل در مرکز قلب و از جنس کادمیم با پوشش استیل است که به صورت دستی و اتوماتیک کنترل می‌شود. تعداد ۵ کانال پرتوودهی داخلی در درون بازتابانده‌ی بریلیمی و همان تعداد کانال پرتوودهی خارجی در بیرون از آن قرار دارند که با انتقال نمونه به داخل آن‌ها عمل پرتوودهی انجام می‌پذیرد. شار نوترون گرمایی در حداکثر توان کار رآکتور در کانال‌های پرتوودهی داخلی  $s^{-1} cm^{-2}$  و در کانال‌های خارجی  $s^{-1} cm^{-2}$  است. مخزن رآکتور در درون یک استخر آبی  $10 \times 5 \times 10 \text{ m}^3$  است. مخزن رآکتور در نزدیکی مخزن رآکتور قرار دارد. در داخل آب استخر و در نزدیکی مخزن رآکتور قرار دارد. کانال خشک، با داشتن نوترون (و گاما) فضای مناسبی را برای انجام انواع آزمایش‌های متفرقه (از جمله کالیبراسیون آشکارسازها و دزیمترها) در خارج از مخزن رآکتور به وجود آورده است [۱ و ۲]. در این کار تحقیقاتی، برای شناخت رفتار نوترون در امتداد این کانال، شار نسبی نوترون به روش فعال‌سازی نوترونی اندازه‌گیری شده است. علاوه بر این، با استفاده از کد MCNP و شبیه‌سازی رآکتور، توزیع شار نوترون در امتداد کانال خشک محاسبه و با نتایج تجربی مقایسه شده است. پس از آن با استفاده از رآکتور شبیه‌سازی شده طیف انرژی نوترون در کانال خشک و کانال‌های پرتوودهی محاسبه و درصد نوترون‌های گرمایی در این محل‌ها تعیین گردیده است.

شکل ۱- صفحه‌ی  $z=0$ ، نمای مقطع افقی رآکتور.شکل ۲- صفحه‌ی  $y=0$ ، نمای مقطع قائم رآکتور.

شکل ۳- شار نوترون به صورت تابعی از فاصله‌ی انتهای کانال خشک.

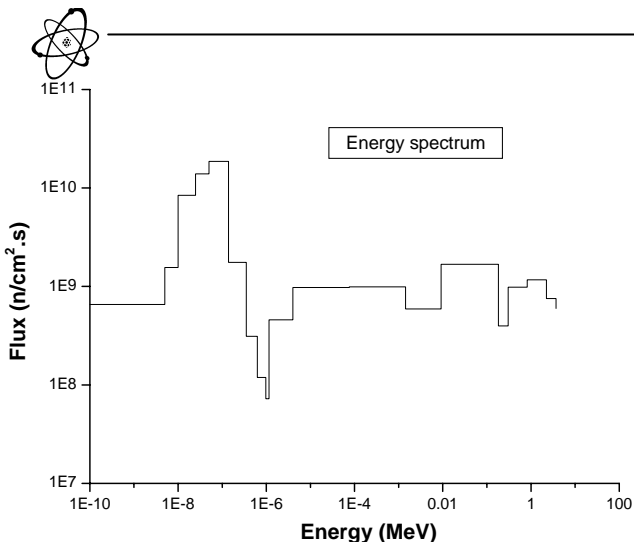
امکان شبیه‌سازی سه بعدی مسایل مختلف تراپر نوترون، الکترون، فوتون و یا ترکیبی از آنها است [۶]. برای شبیه‌سازی رآکتور MNSR با این کد محاسباتی، ابتدا هندسه‌ی رآکتور با آگاهی از توانایی‌های کد MCNP4C [۷] و با در اختیار داشتن اطلاعات ابعادی دقیق اجزای رآکتور [۱]، نحوه‌ی آرایش میله‌های سوخت، چگالی و نسبت اتمی به کار رفته در اجزای مختلف رآکتور تعریف شد. شکل‌های ۱ و ۲ مقاطعی از هندسه‌ی رآکتور را که با بهره‌گیری از امکانات گرافیکی این کد رسم شده‌اند، نشان می‌دهد. بعد از مشخص شدن هندسه‌ی رآکتور، با قرار دادن کارت چشممه‌ی بحرانی KCODE و تنظیم محل قرار گیری میله‌ی کنترل در فایل وروودی مطابق با محل آن در هنگام کار رآکتور (۱۲.۵ cm داخل قلب)، برای محاسبه‌ی شار نوترون در طول کanal خشک و در حالت بحرانی رآکتور، قسمت پایینی این کanal که نزدیک‌تر به قلب قرار دارد به فواصل ۲ سانتی‌متری تقسیم‌بندی شد. برای محاسبه‌ی شار از کارت درخواست F4 استفاده شد. به طور کلی کد MCNP مقدار هر درخواست را به یک ذره‌ی چشم بهنجار می‌کند. محاسبه‌ی مقدار کل شار با در دست داشتن نتایج MCNP به شکل زیر انجام می‌شود.

$$\text{Pwatt} \frac{\frac{J}{\text{Sec}}}{\text{Watt}} \frac{\text{MeV}/J}{1.602 \times 10^{-13}} \frac{\text{fission}}{200\text{MeV}} \frac{\nu \text{neutrons}}{\text{fission}} = 3.12 \times 10^{10} \text{ Pv} \frac{\text{neutrons}}{\text{sec}}$$

بنابراین کافی است که نتیجه‌ی حاصل از محاسبات MCNP به ازای یک توان مشخص  $P = 2,430$  (مربوط به  $U^{235}$ ) در عدد بالا ضرب شود.

### ۳- نتایج و بحث

۱- توزیع تجربی شار نوترون در امتداد کanal خشک با استفاده از نتایج حاصل از پرتودهی همه‌ی ۲۱ پولک ایندیم، توزیع شار نوترون در امتداد کanal خشک تعیین گردید (شکل ۳). نکته‌ی قابل توجه در این شکل آن است که مقدار قله‌ای توزیع شار نوترون در فاصله‌ی ۱۲ سانتی‌متری از انتهای کanal خشک مشاهده می‌شود و این در حالی است که انتظار می‌رود این قله در نزدیک‌ترین نقطه‌ی کanal خشک به مرکز قلب رآکتور، که در فاصله‌ی ۱۷.۵ سانتی‌متر از انتهای کanal خشک قرار دارد، دیده شود. علت این جایه‌جایی قله و نزدیک‌تر شدن آن به انتهای کanal خشک حضور بازتاباننده‌ی بریلیمی در کف قلب رآکتور می‌باشد.



شکل ۴- طیف انرژی نوترون در کانال خشک.

در کانال خشک در ناحیه‌ی گرمایی قرار دارد. در یک اندازه‌گیری تقریبی (با پرتودهی یک پولک ایندیم بدون پوشش کادمیم و پرتودهی نمونه مشابه دیگری با پوشش کادمیم در فاصله‌ی ۱۲ سانتی‌متری از انتهای کانال خشک) درصد نوترون‌های گرمایی در این نقطه حدود ۹۰ درصد به دست آمد که با نتایج این بخش مطابقت نسبتاً خوبی را نشان می‌دهد.

۳-۴ طیف انرژی نوترون‌ها در کانال‌های پرتودهی از آنجا که پرتودهی نمونه‌ها در کانال‌های پرتودهی داخلی و خارجی انجام می‌شود برای تکمیل نتایج فوق طیف انرژی نوترون در این محل‌ها نیز محاسبه شد. در طیف‌های به دست آمده، همانند طیف انرژی نوترون در کانال خشک، سه گروه نوترون‌های گرمایی، میانی و تند به وضوح قابل مشاهده بودند. نتایج به دست آمده نشان داد که در کانال پرتودهی داخلی ۵۰ درصد نوترون‌ها در ناحیه‌ی گرمایی (با انرژی کمتر از ۱eV)، ۳۲ درصد در ناحیه‌ی میانی (۱eV تا ۱MeV) و ۱۸ درصد در ناحیه‌ی تند (با انرژی بزرگتر از ۱MeV) قرار دارند. در کانال پرتودهی خارجی ۸۰ درصد نوترون‌ها در ناحیه‌ی گرمایی، ۱۳ درصد در ناحیه‌ی میانی و ۷ درصد در ناحیه‌ی تند یافت می‌شوند. هم‌چنین طیف انرژی به دست آمده در این کار پژوهشی در یک کانال پرتودهی داخلی (در نقطه‌ای که شار نوترون بیشینه است) با طیف انرژی اندازه‌گیری شده برای رآکتور MNSR پاکستان [۸] در شکل ۵ مقایسه شده که موافق خوبی را نشان می‌دهد.

### ۲-۳ توزیع شار نسبی نوترون حاصل از محاسبه، در امتداد کانال خشک و مقایسه با مقدار تجربی

توزیع شار نوترون حاصل از محاسبات شبیه‌سازی رآکتور در طول کانال خشک به ازای  $P=30\text{ kW}$  (متناظر با شار  $10^9\text{ cm}^{-2}\text{s}^{-1}$ ) که اندازه‌گیری‌ها در آن انجام شده‌اند در شکل ۳ نشان داده شده است. در این شکل تنها خطاهای آماری لحاظ شده‌اند. همان‌گونه که مشاهده می‌شود مطابقت نتایج محاسبات با نتایج اندازه‌گیری‌ها خوب است. در رابطه با نتایج محاسبات لازم به ذکر است که شار اندازه‌گیری شده در هر نقطه شار نسبی است و این در حالی است که شار محاسبه شده شار مطلق می‌باشد. برای به دست آوردن شکل ۳ و مقایسه‌ی بهتر دو توزیع، مقدار شار تجربی در هر نقطه در عدد ثابت ۲۵ (برابر با نسبت سطح زیر نمودار محاسباتی به سطح زیر نمودار تجربی) ضرب شده است.

### ۳-۳ طیف انرژی نوترون‌ها در کانال خشک

مطابقت خوب نتایج محاسبات با نتایج تجربی تعیین شار نوترون در کانال خشک رآکتور MNSR، نشان می‌دهد که رآکتور شبیه‌سازی شده دارای دقت کافی برای انجام هر گونه محاسبه از جمله تعیین طیف انرژی نوترون در نقاط مختلف این رآکتور می‌باشد. در ادامه طیف انرژی نوترون در گستره‌ی انرژی از  $10^{-10}$  تا  $10\text{ MeV}$  در داخل کانال خشک، با استفاده از کارت En در فاصله‌ی  $12\text{ cm}$  از انتهای کانال خشک رآکتور، جایی که مقدار قله‌ای شار نوترون حاصل می‌شود، به دست آمد. نتایج حاصل از محاسبات برای توان  $P=30\text{ kW}$  (حد اکثر توان رآکتور) در شکل ۴ ارایه شده‌اند. در این شکل، سه گروه نوترون‌های گرمایی (با انرژی کمتر از  $1\text{ eV}$ ، میانی (با انرژی بین  $1\text{ eV}$  و  $10\text{ MeV}$ ) و تند (با انرژی بیشتر از  $10\text{ MeV}$ ، که از مشخصات طیف انرژی نوترون در این نوع رآکتورها می‌باشند، به خوبی قابل مشاهده‌اند. هم‌چنین مشاهده می‌شود که به علت جذب نوترون‌های گرمایی در آب رآکتور و در نتیجه‌ی عدم تبعیت این نوترون‌ها از توزیع ماسکولی، قله نوترون‌های واقع در ناحیه‌ی گرمایی در انرژی‌های بالاتر از  $25\text{ eV}$  و در حوالی  $1\text{ eV}$  قرار دارد. در این طیف  $85\text{ eV}$  درصد نوترون‌ها در ناحیه‌ی گرمایی، ۹ درصد در ناحیه‌ی میانی و ۶ درصد در ناحیه‌ی تند قرار دارند. همان‌گونه که انتظار می‌رود، بیشترین درصد نوترون



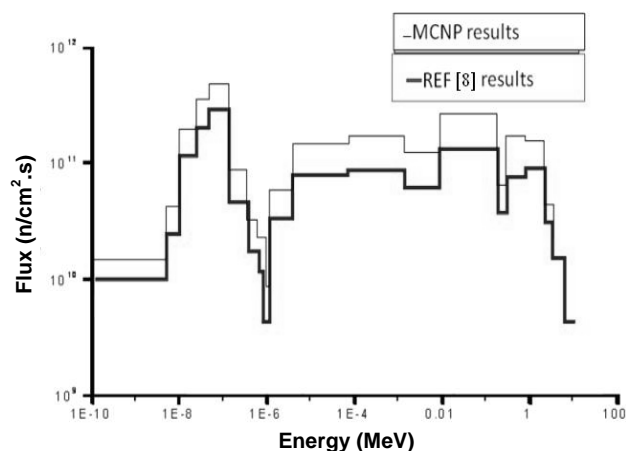
### پی‌نوشت‌ها:

۱- MNSR: Miniature Neutron Source Reactor

۲- NAA: Neutron Activation Analysis

### References:

1. G. Jijin, "General description of miniature neutron source reactor," China Institute of Atomic Energy (1990).
2. T. Daozhu, "Iran miniature reactor pure water production system," China Institute of Atomic Energy (1990).
3. International Atomic Energy Agency, "Neutron fission measurements," Vienna (1970).
4. F. Knoll, "Radiation detection and measurement," Michigan University (1989).
5. A. Sohrabi, "Calculation of gamma ray dose distribution and neutron flux distribution in the dry channel of the MNSR reactor using the MCNP code and comparison with experimental values," M. Sc Thesis, Faculty of Physics, Isfahan University of Technology (2008).
6. R. Johnston, "A general monte carlo neutron code," Los Alamos Scientific Laboratory Report (1963).
7. "MCNP4C monte carlo N-particle transport code system," Los Alamos National Laboratory (2000).
8. M. Iqbal, A. Muhammad, T. Mahmood, N. Ahmed, "On comparison of experimental and calculated neutron energy flux spectra at miniature neutron source reactor (MNSR)," Annals of Nuclear Energy, 209-215 (2008).



شکل ۵- طیف انرژی نوترون در کanal پرتودهی داخلی و مقایسه آن با نتایج تجربی دیگران.

### ۴- نتیجه‌گیری

در این کار توزیع شار نوترون در امتداد کanal خشک رآکتور مینیاتوری اصفهان با استفاده از روش فعال‌سازی نوترونی MCNP اندازه‌گیری و با نتایج حاصل از شبیه‌سازی توسط کد مقایسه شد. نتایج به دست آمده نشان می‌دهند که در کanal خشک، شار نوترون در فاصله‌ی ۱۲ سانتی‌متری از انتهای آن به مقدار قله‌ای خود می‌رسد. سپس، با توجه به سازگاری خوب نتایج شبیه‌سازی و تجربی و اطمینان از عملکرد درست برنامه‌ی شبیه‌سازی، طیف انرژی نوترون‌ها در کanal خشک و همچنین در کanal‌های پرتودهی داخلی و خارجی این رآکتور با استفاده از کد تعیین و درصد نوترون‌های گرمایی در این محل‌ها تعیین شد. نتایج نشان داد که درصد نوترون‌های گرمایی در کanal‌های پرتودهی داخلی، خارجی و کanal خشک به ترتیب ۸۰، ۵۰ و ۸۵ درصد است، و (همان‌گونه که انتظار می‌رود) با دور شدن از قلب رآکتور (اگرچه شار نوترون‌ها کاهش می‌باید) درصد نوترون‌های گرمایی به طور نسبی افزایش می‌باید. این اطلاعات در هنگام پرتودهی نمونه‌ها در داخل این نوع رآکتورها حائز اهمیت می‌باشند.